

طراحی، ساخت و بررسی ویژگی‌های اتاقکهای یونش صفحه موازی، برای دُزیمتری باریکه‌های الکترون مورد استفاده در پرتو درمانی

عبدالرضا سلیمانیان، محمدرضا انصاف، مصطفی غفوری، بخش دُزیمتری استاندارد (SSDL)

سازمان انرژی اتمی ایران

با همکاری:

آزادسین بین‌المللی انرژی اتمی (IAEA)

و

بخش پرتو درمانی مرکز پزشکی سیدالشهداء - اصفهان

اردیبهشت ۱۳۷۸

چکیده

اتاقکهای یونش، وسائل عملی و استاندارد برای دُزیمتری باریکه‌های فوتون و الکترون در پرتو درمانی به شمار می‌روند. بر این اساس، دستورالعملهایی به توسط نهادهای ملی و بین‌المللی، از جمله آزادسین بین‌المللی انرژی اتمی (IAEA)، در زمینه نحوه استفاده از اتاقکهای یونش مناسب برای تعیین دُز جذبی باریکه‌های فوتون و الکترون تدوین شده‌اند. در این دستورالعملها به لزوم استفاده از اتاقکهای یونش صفحه موازی^۱ در دُزیمتری باریکه‌های الکترون، به ویژه در انرژی‌های کمتر از 10 MeV تاکید شده است. با توجه به احتمال گسترش استفاده از شتابدهنده‌های الکترون در مراکز پرتو درمانی کشور، کوشش‌هایی در جهت ساخت و استفاده از اتاقکهای یونش صفحه موازی در بخش دُزیمتری استاندارد (SSDL)^۲، طبق آخرین دستورالعمل دُزیمتری IAEA، بعمل آمده است که در این مقاله به آن پرداخته می‌شود.

۱- مقدمه:

می‌گرفت [۷-۳]. در این دستورالعملها روش‌های متعددی برای دُزیمتری باریکه‌های فوتون و الکترون در پرتو درمانی ارائه شده بوده ولی همه آنها یک وجه مشترک داشتند و آن استفاده از اتاقک یونش بود که در مورد پرتوگامای CO-60 یا پرتو ایکس ۲MV، در آزمایشگاه دُزیمتری استاندارد بر حسب مقدار پرتو دهی سنجه‌بندی (کالایریه) می‌شد. در این روشها، یا بطور کلی در روش حفره سنجه‌بندی شده، مقدار یونش اندازه گیری شده در یک فانتوم رادر باریکه‌های پر انرژی، با کاربردن فاکتور سنجه‌بندی اتاقک یونش بر حسب مقدار پرتو دهی (N_{μ}) و فاکتورهای تبدیل دُز مناسب به نام C_d (برای فوتون) و C_E (برای الکترون)، به دُز جذبی (D) تبدیل

دستگاههای شتابدهنده خطی الکترون و رادیوایزوتوپ Co-60 در زمان حاضر ابزارهای عمدۀ و رایج پرتو درمانی خارجی در اکثر مراکز پرتو درمانی جهان بشمار می‌روند. تعیین هر چه دقیق‌تر دُز جذبی باریکه‌های فوتون و الکترون انرژی بالا، که به وسیله این دستگاهها تولید می‌شوند، در پرتو درمانی از اهمیت خاص برخوردار است. حداکثر خطای قابل قبول در ارائه مقدار دُز تجویز شده به بیماران ۵٪ برآورد می‌شود [۱] و در برخی از درمانها دقت بالاتری نیز مورد نظر است [۲].

تاسال ۱۳۶۰ دُزیمتری باریکه‌های فوتون و الکترون پر انرژی، یا به اصطلاح باریکه‌های مگاولتاژ، با استفاده از دستورالعملهای تدوین شده توسط نهادهای ملی یا بین‌المللی صورت

1- Plane - parallel ionisation chambers

2- Secondary Standard Dosimetry Laboratory

مي گردد:

$$D_m = M_\lambda N_x C_\lambda$$

$$D_m = M_E N_x C_E$$

استخراج فاکتورهای تبدیل دُز برای اندازه گیری پرتوودهی در فانتوم بود کارگذاشته شد و به جای آن فاکتور $N_{D,air}$ -فاکتور سنجه بندی دُز جذبی هوای اتاقک یونش - (در دستورالعمل NACP) و یا N_{gas} - فاکتور سنجه بندی گاز حفره - (در دستورالعمل AAPM) که هم ارز می باشند عرضه شد. علاوه بر این چون فاکتورهای تبدیل دُز (برای فوتونها و C_E برای الکترونها) با طیفهایی که بوسیله باريکه های فوتون و الکترون در فانتوم ایجاد می شوند سازگار نبودند، استفاده از این فاکتورها نیز متوقف گردید^۳ و بجای آنها از نسبتهاي توان متوقف سازی محبيط اندازه گيری (آب) به هوا ($S_{w,air}$), بهمراه فاکتورهای دیگری که نشان دهنده تاثير حضور اتاقک یونش در فانتوم، ابعاد اتاقک و تفاوت جنس دبواره آن و فانتوم دُزیمتري بودند، استفاده شد.

آژانس بین المللی انرژی اتمی در سال ۱۹۸۷/۱۳۶۶ دستورالعمل بین المللی IAEA-TRS No.277 را برای تعیین دُز جذبی باريکه های فوتون و الکترون منتشر کرد [۱۳]. در این دستورالعمل نحوه تعیین دُز جذبی آب با استفاده از اندازه گیريهای انجام شده به وسیله اتاقک یونشی که بر حسب گرمای هوا در انرژی پرتوگامای C_O-60 سنجه بندی می شود، شرح داده شده است. از هنگام انتشار این دستورالعمل، توصیه های متعددی درباره نحوه استفاده از اتاقکهای یونش صفحه موازی منتشر شده و همچنین اطلاعات بیشتری در مورد اتاقکهای یونش استوانه ای در دسترس قرار گرفته است. براین اساس، IAEA در ۱۳۷۱ یک گروه کار بین المللی را برای تجدیدنظر در دستورالعمل IAEA-TRS No.277 تشکیل داد. این گروه نیز تشکیل یک کمیسیون مشورتی را برای تهیه گزارش فنی درباره نحوه استفاده از اتاقکهای یونش صفحه موازی در دُزیمتري باريکه های الکترون و فوتون پر انرژی پیشنهاد کرد. ماحصل کار این کمیسیون تدوین گزارش IAEA-TRS NO.381 بود که در ۱۳۷۵ با عنوان «استفاده از اتاقکهای یونش صفحه موازی در باريکه های الکترون و فوتون پر انرژی» انتشار یافت [۱۴]. در این گزارش، که در واقع ادامه دستورالعمل IAEA-TRS NO.277 و مکمل آن است، روش های

این شیوه نسبتاً ساده و تا اندازه ای دقیق و یکنواخت به مدت تقریباً دو دهه در سراسر مراکز پرتوودمانی جهان برای دُزیمتري باريکه های فوتون و الکترون پر انرژی بکار می رفت. با پیشرفت مفاهیم دُزیمتري و اصلاح داده ها و دستگاههای اندازه گیری، تجدیدنظر در نحوه تعیین دُز جذبی باريکه های پر انرژی اجتناب ناپذیر به نظر می رسید. باید توجه داشت که روش حفره سنجه بندی شده کاملاً متنکی به سنجه بندی اتاقک یونش برسپ مقدار پرتوودهی است که در تحلیل نهایی، دُز هوای درون اتاقک را مشخص می کند بدون این که تاثیر مواد ساختماری و ابعاد اتاقک در این دُز منظور شوند. هنگام استفاده از C_E برای دُزیمتري باريکه های فوتون، فرض بر این بود که اولاً ماده درون اتاقک ترکیبی معادل هوا دارد ثانیاً فاکتورهای جایگزینی یکسانی برای تمام اتاقکها، بدون توجه به انرژی باريکه و یا عمق اندازه گیری در فانتوم، بکار می رفت. همچنین هنگام استفاده از C_E برای دُزیمتري باريکه های الکترون، فرض بر این بود که اتاقک ترکیبی معادل هوا دارد و تنها فاکتور تصحیح مورد نیاز، ضربی و استنگی انرژی الکترون به عمق فانتوم است. برای رفع این نواقص، پژوهشگران در صدد تجدیدنظر در مفاهیم و داده های مورد استفاده در دُزیمتري باريکه های پر انرژی و انجام اصلاحات لازم برآمدند.

در سال ۱۳۵۹ (۱۹۸۰م) انجمن فیزیک پزشکی کشورهای اروپای شمالی (NACP) دستورالعمل واحدی را برای دُزیمتري باريکه های فوتون و الکترون از ۱ تا ۵۰ مگا الکترون ولت) منتشر کرد [۸] و در ۱۳۶۰ نیز متحمی برای دُزیمتري الکترونهاي کمتر از ۱۵MeV به منظور استفاده از اتاقکهای یونش صفحه موازی به آن افزود [۹]. در سال ۱۳۶۲ انجمن فیزیک پزشکی امریکا (AAPM) نیز دستورالعمل جامعی با عنوان «دستورالعمل تعیین دُز جذبی باريکه های فوتون و الکترون پر انرژی» انتشار داد که در آن اصلاحات اساسی، برای بالا بردن دقت دُزیمتري بعمل آمده است [۱۰]. از جمله، فاکتور سنجه بندی پرتوودهی N_x که اساس

^۳- انжен فیزیک پزشکی انگلیس (HPA) در سالهای ۱۹۸۳ و ۱۹۸۵ دو دستورالعمل جداگانه را برای دُزیمتري باريکه های فوتون [۱۱] و الکترون [۱۲] در پرتوودمانی منتشر کرد. در این دستورالعملها، برای سهولت محاسبات دُزیمتري، فاکتورهای C_O و C_E منحصر ابرو چند اتاقک دایج در مراکز پرتوودمانی انگلیس ارائه شده اند.

بین المللی به صراحة عنوان شده است. طراحی و مشخصات هندسی اتفاک یونش صفحه موازی طوری است که این اتفاک را برای اندازه گیریهای یونش در نواحی که میزان افزایش یا کاهش دُر زیاد است و همچنین به حداقل رساندن خطأ در محل نقطه مؤثر اندازه گیری، به حد مطلوب می‌رساند.

۱-۲- ویژگیهای کلی

جزئیات ساختمانی اتفاکهای یونش صفحه موازی به قرار زیر است [۱۴]:

- شکل هندسی حجم هوای اتفاک، استوانه قائم دیسک مانندی است که یک طرف آنرا پنجره ورودی پرتو تشکیل می‌دهد (شکل ۱). سطح داخلی پنجره ورودی (و در پاره‌ای از موارد دیواره جانبی استوانه) رسانابوده و الکترود خارجی را تشکیل می‌دهد (w). الکترود داخلی، دیسک مدور رسانایی است (b) که در بدنه عایق اتفاک (a) قرار می‌گیرد و در طرف دیگر استوانه، مقابل پنجره ورودی است. حجم مؤثر اتفاک بخشی از حجم کل است که خطوط نیروی الکتریکی بین الکترودهای داخلی و خارجی از آن می‌گذرند.

- الکترودهای داخلی و خارجی در بدنه اتفاک، که کابل هم به آن وصل می‌شود، سوار می‌شوند. کابل معمولاً به موازات پنجره ورودی از بدنه اتفاک خارج می‌شود (c).

- حجم مؤثر اتفاک معمولاً بین ۰/۰۵CC تا ۰/۵CC است.

- ولتاژ قطبیش به الکترود خارجی اعمال می‌شود و با الکتریکی تولید شده در حجم اتفاک از طریق الکترود داخلی جمع آوری می‌گردد.

- معمولاً الکترود سومی (g) به نام الکترود محافظ وجود دارد که از لحاظ الکتریکی به هیچیک از الکترودهای دیگر متصل نیست ولی طوری طراحی می‌شود که در همان پتانسیل الکترود داخلی نگهداشته شود. در طراحی اتفاک کاملاً حفاظت شده، این الکترود در حجم هوای اتفاک به صورت حلقه‌ای در اطراف الکترود داخلی تعییه می‌شود و کار آن جمع آوری بار نشتنی ناشی از ولتاژ بالا روی

سنجه‌بندی اتفاکهای یونش صفحه موازی برای باریکه‌های الکترون و فوتون (Co-60) و استفاده از آنها در تعیین دُر جنبی شرح داده شده است.

پس از انتشار دستورالعمل IAEA-TRS No.381، بخش دُزیمتري IAEA از دست‌اندرکاران امور دُزیمتري در پرتو درمانی درخواست کرد که با اجرای دستورالعمل جدید، دقت داده‌ها و روش‌های متدرج در آنرا بررسی کنند. IAEA در جهت تاکید بر اهمیت موضوع، برنامه تحقیقاتی سازمان یافته (CRP) را نیز در سال ۱۳۷۵ به آن اختصاص داد. بخش دُزیمتري استاندارد سازمان انرژي ایران، که همواره شرکت در برنامه‌های بین المللی دُزیمتري و سنجه‌بندی مقایسه‌ای IAEA را به عنوان یکی از شاخصهای عده کنترل کنی دنبال کرده و تابه حال هم کارنامه مطلوبی چه از لحاظ نتایج شرکت در برنامه‌های مذکور و چه از لحاظ تأمین پیوندهای لازم مراکز پرتو درمانی با استانداردهای بین المللی اندازه گیری پرتوهای یونساناز داشته است [۱۵ و ۱۶ و ۱۷]، بر آن شد تا ضمن بکار بستن دستورالعمل اخیر کوششهای نیز در جهت ساخت اتفاکهای صفحه موازی بعمل آورد. به این منظور طی مراحلی که شرح آن بدنبال خواهد آمد، ابتدا نمونه‌های از اتفاکهای یونش صفحه موازی با رعایت مشخصات مناسب این نوع اتفاکها ساخته شد و آزمونهای اولیه در مورد آنها انجام گرفت. سپس پاسخ دو نمونه از اتفاکهای مذکور در مقابل پرتوگامای Co-60 تعیین گردید، و در آخر باریکه‌های الکترون یک دستگاه شتاب دهنده خطی پرتو درمانی، براساس دستورالعمل جدید و با استفاده از یک نمونه تجاری اتفاک یونش صفحه موازی دُزیمتري شد و پاسخ بکی از دو اتفاک ساخته شده تیز در باریکه‌های الکترون مورد آزمون قرار گرفت.

ساخت اتفاکهای یونش تجربه ارزشمندی است که اهمیت آن بر دست‌اندرکاران امور دُزیمتري پوشیده نیست. امید می‌رود که با تکمیل برخی از جنبه‌های تکنیکی و کارگاهی، نتایج بهتری در این زمینه بدست آید.

۲- طراحی و ساخت اتفاکهای یونش صفحه موازی

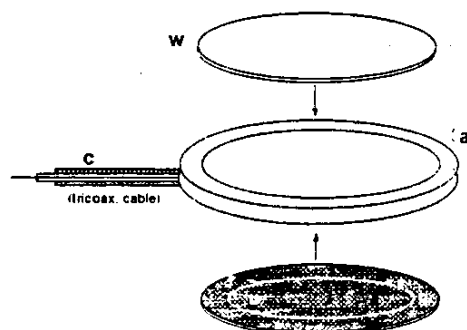
مزایای کاربرد اتفاکهای یونش صفحه موازی در دُزیمتري باریکه‌های مورد استفاده برای پرتو درمانی، بویژه باریکه‌های الکترون با انرژی کمتر از ۱۰MeV، در اکثر دستورالعملهای ملی و

باریکه‌های الکترون (10 MeV) به شمار می‌رود، امکان به حداقل رساندن اختلال ناشی از اثر حفره اتاقک بر شاریدگی^۵ الکترون در فاتنوم است. اتاقکهای صفحه موازی را می‌توان طوری طراحی کرد که در واقع شاریدگی الکترون را از طریق پنجره ورودی نمونه گیری کند و در نتیجه ورود الکترونها از دیوارهای جانبی ناچیز شود. این طرح، در نظر گرفتن مکان نقطه موثر اندازه گیری (P_{eff}) را در مرکز سطح جلویی حفره هوا (مرکز الکترود خارجی) توجیه می‌کند (برای اینگونه اتاقکها فرض بر این است که وضعیت P_{eff} با انرژی تغییر نمی‌کند). به دلایل عملی، انتخاب نقطه مرجع اتاقک نیز در همان وضعیت مناسب است. برای اینکه ضرب تصحیح اختلال ناشی از وجود حفره اتاقک در فاتنوم (P_{av}) به حداقل برسد و P_{eff} نیز با تقریب مستدلی در وضعیت باد شده (یعنی مرکز سطح جلویی اتاقک) باشد، لازم است که اتاقک صفحه موازی دارای حفره هوای تخت باشد، یعنی نسبت قطر حفره به ارتفاع آن زیاد باشد (در حد بزرگی 10°). ارتفاع حفره (یعنی ضخامت حفره هوا) که همان فاصله بین دو الکترود داخلی و خارجی است، نباید از 2 mm تجاوز کند و الکترود داخلی نیز باید با الکترود محافظی که پهنای آن کمتر از $1/5$ برابر ارتفاع حفره نباشد، محصور گردد. رعایت این ابعاد تاثیر اختلال حضور اتاقک در فاتنوم اندازه گیری را به حد کافی کاهش می‌دهد. از این گذشته، برای کاستن اثر عدم یکتواختی میدان پرتو، قطر الکترود داخلی نباید از 20 mm تجاوز کند. علاوه بر این، ضخامت پنجره ورودی اتاقک باید حداقل 1 mm باشد تا اندازه گیری در عمقهای اندک فاتنوم میسر گردد. همچنین لازم است که حفره هوا دارای منفذ تهویه باشد تا با فشار و دمای خارج زودتر به تعادل برسد.

۳-۲- ساخت اتاقکهای یونش صفحه موازی در بخش ذیمتربی استاندارد

با توجه به مشخصات مناسب اتاقکهای صفحه موازی که شرح داده شد، اقدام به ساخت این گونه اتاقکها با استفاده از امکانات کارگاهی مرکز تحقیقات کشاورزی و پژوهشی هسته‌ای گردید. بدنه اتاقکها و همچنین الکترودها، همه از جنس پرسپکس (PMMA) انتخاب شده‌اند و فقط پوشش نازکی از گرافیت (0.02 mm) روی

الکترود خارجی است.



شکل ۱ - اجزای اصلی اتاقک یونش صفحه موازی: a. بدنه اتاقک، b. پنجره ورودی پرتو، c. الکترود داخلی، g. الکترود محافظ و c. کابل اتصال

ابعاد اتاقکهای صفحه موازی مناسب برای باریکه‌های الکترون و همچنین باریکه‌های فوتون $60-60\text{ Co}$ و ایکس پر انرژی عبارتند از: ضخامت پنجره ورودی 1 mm یا کمتر فاصله بین الکترودهای داخلی و خارجی 2 mm یا کمتر، قطر الکترود داخلی 20 mm یا کمتر.

۲-۲- ویژگیهای اتاقکهای یونش صفحه موازی برای باریکه‌های الکترون

اتاقکهای یونش صفحه موازی برای اندازه گیری باریکه‌های الکترون با انرژی کمتر از 10 MeV توصیه شده‌اند و برای انرژیهای کمتر از 5 MeV حتماً باید بکار روند. این نوع اتاقکها برای انرژیهای بالاتر از 10 MeV نیز مناسبند.

این اتاقکها ترجیحاً طوری ساخته می‌شوند که امکان استفاده از آنها در فاتنومهای آب نیز میسر باشد و بدنه آنها تا حد امکان همگن بوده و هم از آب عمل کنند، یعنی توانهای متوقف‌سازی جرمی و خطی آنها همانند آب باشد. اتاقکهایی که برای ذیمتربی در فاتنوم‌های جامد طراحی می‌شوند، اگر اتاقک از مواد مختلفی ساخته شود و در نتیجه بسیار ناهمگن باشد در این صورت روش ساده‌ای برای انتخاب جنس فاتنوم وجود نخواهد داشت.

یکی از مزایای عمده استفاده از اتاقکهای یونش صفحه موازی، که علت اصلی رجحان آن بر اتاقکهای استوانه‌ای در ذیمتربی

زاویه ورودی باریکه می‌شود.

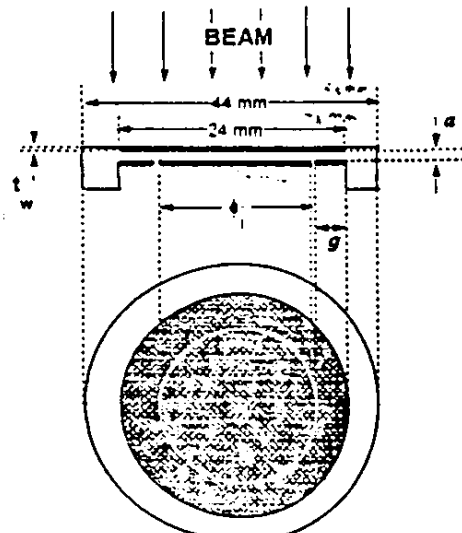
ابعاد دو اتاقک (pp₂و ppp₁) ساخته شده موضوع این گزارش در مقایسه با حدود ابعاد توصیه شده و همچنین ابعاد یک نمونه اتاقک صفحه موازی تجاری، PTW,W-34001، که در سنجه‌بندی اتاقکها از آن استفاده شده به قرار زیر است (شکل ۲ را نیز بینید).

صفحات الکترودها ایجاد شده است. بنابراین با تقریب خوبی می‌توان فرض کرد که ساختمان اتاقکها کاملاً همگن بوده و هنگام استفاده از آنها در فانتوم‌های پرسپکس، که برای ارزیبایی کمتر از ۱۰ MeV مناسب هستند، اختلال ناشی از اختلاف جنس دیواره اتاقکها با محیط اندازه گیری به کمترین مقدار می‌رسد.

PTW,W-34001	PP2	PP1	توصیه شده	ابعاد مورد نظر
۱	۱	۱	≤ 1	ضخامت پنجره ورودی، t_w (mm)
۱۵/۶	۱۴	۱۳/۵	≤ 20	قطر الکترود داخلی، ϕ (mm)
۲	۲	۱/۸	≤ 2	ارتفاع حفره هوا، a (mm)
۲	۲/۴	۲/۸	$\geq 1/5$	نسبت پهنه‌ای الکترود محافظ به ارتفاع حفره، $\frac{g}{a}$
۰/۳۵	۰/۳۰۸	۰/۲۵۸	۰/۰۵-۰/۵	حجم حساس (cm ³)

در تمام اندازه گیریها از یک الکترومتر نوع PTW-UNIDOS 10002 استفاده شده است. حساسیت این الکترومتر برای اندازه گیری بار الکتریکی، $0/01 \text{ pC}$ (10^{-12} کولن) و جریان، $0/001 \text{ pA}$ (10^{-14} آمپر) است. ولتاژ قطبش را می‌توان از صفر تا 400 V ولت، با گامهای 50 V تغییر داد. امکان تغییر قطبیدگی (پلاریته) نیز وجود دارد. از یک دستگاه استاندارد موجود است بنوان منبع پرتو استفاده شده است. در تمام آزمونها، بجز آزمون پاسخ اتاقک نسبت به زاویه ورودی تابش که در هوا انجام شده، اتاقکها در عمق $4/5 \text{ cm}$ در فانتوم پلاستیک (تقریباً معادل عمق 5 cm آب) قرار داشته‌اند. فانتوم پلاستیک از صفحات پرسپکس با ابعاد $30 \text{ cm} \times 30 \text{ cm}$ و ضخامت از 1 mm تا 20 mm ساخته شده است. ملاک پذیرش آزمونها مقایسه آنها با معیارهای معرفی شده در IEC731 بوده است [۱۸].

بهره جمع آوری بار الکتریکی به وسیله اتاقکها و اثر قطبیدگی که از شاخصهای کنترل کیفی اتاقکهای یونش، به ویژه در باریکه‌های تپی (پالسی) و تپی - رویشی (پالس - اسکن، شتابدهنده) به شمار می‌روند، در جریان سنجه‌بندی اتاقکها بررسی شده‌اند و نتایج آن متعاقباً عرضه خواهد شد.

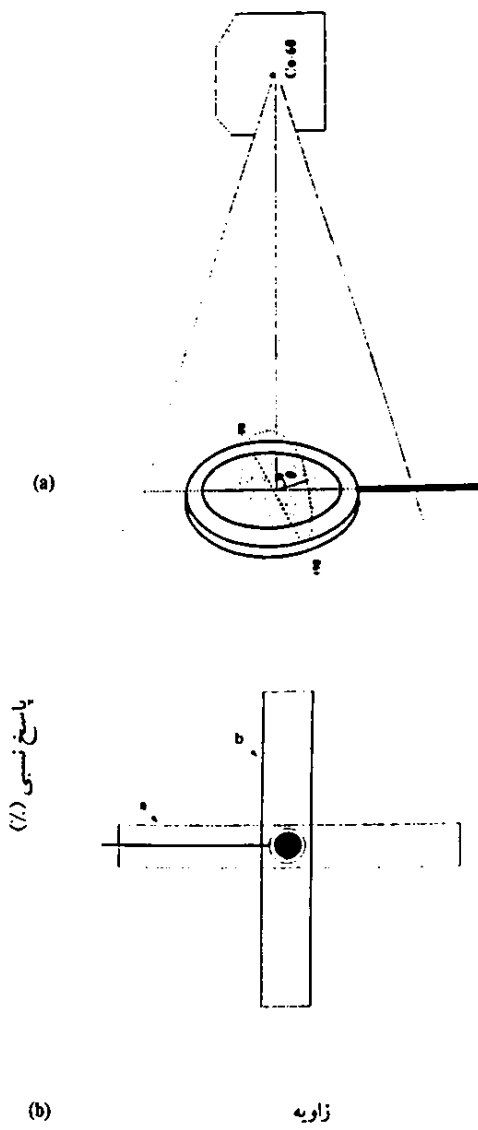


شکل ۲ - ابعاد اساسی اتاقکهای یونش صفحه موازی شامل ضخامت پنجره ورودی پرتو t_w ، ارتفاع حفره هوا a ، قطر الکترود داخلی ϕ و پهنه‌ای الکترود محافظ g .

۳- آزمونهای اولیه اتاقکهای صفحه موازی

قبل از سنجه‌بندی اتاقک یونش و استفاده از آن لازم است اندازه گیریهای مقدماتی برای ارزیابی قابلیت آن، به عنوان یک اتاقک یونش، انجام شود. این اندازه گیریها حداقل شامل تعیین جریان نشستی، پابداری کوتاه مدت پاسخ اتاقک، بررسی تاثیر کابل اتصال اتاقک به الکترومتر، و بالاخره تغییرات پاسخ اتاقک نسبت به

۴-۳- تغییرات پاسخ اتاقکها نسبت به زاویه ورودی تابش
 برای بررسی تغییرات پاسخ اتاقکهای صفحه موازی نسبت به زاویه ورودی تابش، آنها را در میدان پرتوگاما در هوا قرار داده و اندازه گیریهایی در زوایای مختلف بین محور مرکزی میدان تابش و بردار عمود بر پنجره اتاقکها از -90° تا $+90^{\circ}$ ، طبق شکل ۴a، انجام داده‌ایم. نتایج اندازه گیری نشان می‌دهد که پاسخ تمام اتاقکها، حداقل از زاویه -45° تا $+45^{\circ}$ ، در مقایسه با پاسخ اتاقکها در وضعیت عادی اندازه گیری (زاویه صفر) مطلوب بوده است (شکل ۴b).

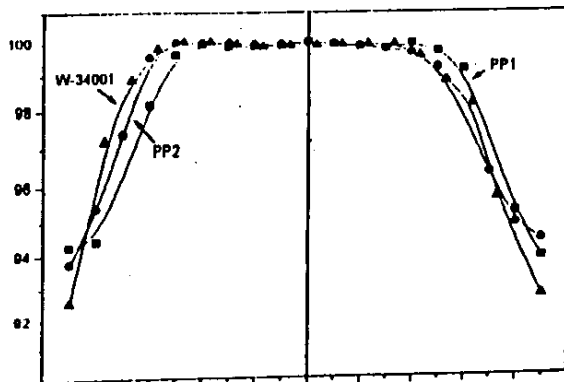


شکل ۴ - نحوه اندازه گیری (a) و نتایج پاسخ اتاقکها (b) در قبال تغییر زاویه ورودی پرتو.

۱-۳- اندازه گیری جریان نشتی
 جریان نشتی اتاقکهای یونش، طی اندازه گیریهای متعددی که قبل از پرتودهی و بعد از آن به عمل آمده همواره ناچیز بوده است. جریان نشتی اتاقکها قبل از پرتودهی حدود $A = 5 \times 10^{-15}$ و بعد از پرتودهی $A = 5 \times 10^{-17}$ بوده است. همچنین جریان نشتی اتاقکها ۵ ثانیه بعد از قطع پرتودهی کمتر از 5% جریان اصلی (هنگام پرتودهی) بوده است.

۲-۳- پایداری کوتاه مدت پاسخ اتاقکها
 در مدت تمام اندازه گیریها، انحراف معیار نسبی هر سری ده تایی اندازه گیری در هر نوبت، که ملاکی از پایداری کوتاه مدت پاسخ اتاقکها و الکترومتر است، در اکثر موارد کمتر از 5% بوده است.

۳-۳- بررسی اثر کابل
 برای بررسی تاثیر کابل اتصال اتاقکها به الکترومتر در پاسخ آنها، اتاقکها را در داخل فانتوم در دونوبت تحت تابش میدان مستطیل شکل ($22/5\text{cm} \times 4/5\text{cm}$) پرتوگاما CO-60 قرار داده‌ایم. ابتدا میدان تابش را طوری تنظیم کردیم که درازای آن به موازات کابل قرار گیرد (شکل ۳a)، سپس اندازه گیری را در حالتی که درازای میدان تابش عمود بر کابل باشد (شکل ۳b) تکرار کردیم. پهنهای میدان تابش در محل اتاقک تنها اندکی (حدود 1cm) از قطر کل اتاقکها بیشتر بوده است. اختلاف نسبی پاسخ اتاقکها در دو حالت کمتر از 1% بوده است.



شکل ۲ - نحوه استفاده از میدان در دو حالت مختلف تابش گاما برای بررسی اثر کابل در پاسخ اتاقکها

$\alpha_1 = -1/200$ و $\alpha_2 = 0/734$ است.

فاکتور P_e که در واقع عکس بهره جمع آوری بار الکتریکی است، برای اتفاکهای صفحه موازی موضوع این گزارش در باریکه‌های گاما و الکترون چنین برآورد شده است:

نوع باریکه	مقدار P_e	نام	نام	نام
PP1	PP2	W-34001		Co-60
1/01	1/005	1/002		
-	-	1/015	17 MeV	الکترون
-	1/012	1/008	13 MeV	الکترون
-	1/012	1/009	9 MeV	الکترون
-	1/005	1/007	6 MeV	الکترون

۵- سنجه‌بندی اتفاکهای یونش صفحه موازی $D_{w,Q}(z_{ref})$ در محدوده z_{ref} که اتفاک یونش صفحه موازی، براساس دستورالعمل دُزیمتري IAEA-TRS No.381 چنین تعیین می‌شود:

چنانچه اتفاک بر حسب دُز جذبی هوای حفره آن سنجه‌بندی شده باشد:

$$D_{w,Q}(z_{ref}) = M_Q^{PP} N_{D,air}^{PP} (S_{w,air})_Q P_Q \quad (2)$$

و در صورتی که اتفاک بر حسب دُز جذبی آب سنجه‌بندی شده باشد:

$$D_{w,Q}(z_{ref}) = M_Q^{PP} N_{D,W,Co}^{PP} \frac{(S_{w,air})_Q}{(S_{w,air})_{Co}} \frac{P_Q}{P_{wall,Co}} \quad (3)$$

در این روابط، $D_{w,Q}(z_{ref})$ مقدار دُز جذبی باریکه الکترون با کیفیت Q در عمق مرجع z_{ref} در فانتوم آب است (منظور از کیفیت باریکه الکترون، انرژی متوسط باریکه در سطح فانتوم یعنی \bar{E}_0 است). M_Q^{PP} مقدار خوانده شده روی الکتروومتر است که تصحیحات لازم، نظری تصحیح دما و فشار محیط اندازه گیری نسبت به دما و فشار مرجع P_{TP} ، تصحیح مربوط به بهره جمع آوری بار، P_s ، و قسطیلیگی، در مورد آن اعمال شده باشد. $N_{D,W,Co}^{PP}$ و $N_{D,air}^{PP}$ به ترتیب فاکتورهای سنجه‌بندی اتفاک بر حسب دُز جذبی هوای حفره اتفاک و دُز جذبی آب هستند. نسبت توان متوقف سازی آب به هوا در باریکه الکترون با $(S_{w,air})_Q$ کیفیت Q است و تابعی از انرژی متوسط باریکه در سطح فانتوم،

$$6- P_{TP} = \frac{T(^{\circ}\text{C}) + 273.2}{293.2} \times \frac{1013.25}{P(\text{mb})}$$

۴- بهره جمع آوری بار الکتریکی
مفهوم تمام بار الکتریکی که پرتو یونسان در حفره هوای اتفاک یونش ایجاد می‌کند به وسیله الکتروودها جمع آوری نمی‌شود، زیرا تعدادی از یونهای تولید شده دوباره با هم ترکیب می‌شوند. در تحلیل نهایی برای تعیین دقیق تر دُز جذبی در یک میدان پرتو، باید بهره جمع آوری بار به وسیله اتفاک یونش، یعنی نسبت بار جمع آوری شده، Q' ، به بار تولید شده، Q ، ($f = Q'/Q$) در حجم اتفاک معلوم باشد. برای تعیین بهره جمع آوری بار به وسیله اتفاکهای یونش، هم برای تابش پیوسته و هم برای تابش‌های تپی (پالس) و تپی-روبی (پالس-اسکن)، راه حل‌های نظری ارائه شده است [۱۹]؛ ولی به علت تفاوت‌های موجود بین شرایط ایده‌آل روش‌های نظری و مشخصات پیچیده هندسی اتفاکهای یونش در عمل، توصیه شده است که بهره جمع آوری بار الکتریکی در هر شرایط اندازه گیری خاص، به طریق تجربی تعیین شود. به عبارت دیگر، مقدار بار خوانده شده توسط الکتروومتر در شرایط خاص اندازه گیری، باید در مقابل ترکیب دوباره یونها در همان شرایط تصحیح گردد. برای این کار ما از روش موسوم به «روش دو ولتاژ» استفاده کردیم، به این ترتیب که اندازه گیری‌ها را در میدان تابش گامای دستگاه V9 (بخش دُزیمتري استاندارد) و باریکه‌های تپی-روبی (پالس-اسکن) الکترون شتابدهنده پرتو درمانی 20 CGR Saturn (سرکز پزشکی سیدالشهاده اصفهان)، در دو ولتاژ قطعیمه مختلف V_1 و V_2 انجام داده‌ایم. ما این نسبت را ۴۴ انتخاب کردیم (۵۰ V، $V_1 = -200$ V، $V_2 = 50$ V). با در دست داشتن نسبت بارهای الکتریکی خوانده شده روی الکتروومتر، یعنی Q_1/Q_2 ، و نوع پرتو (پیوسته، تپی یا تپی-روبی) و مراجعت به دستورالعمل‌های دُزیمتري IAEA-TRS Nos. 277&381، فاکتور تصحیح مربوط به ترکیب دوباره یونها، P_s ، را استنتاج کرده‌ایم و در اندازه گیری باریکه‌های الکترون از رابطه (۱) استفاده شده است:

$$P_s = \alpha_0 + \alpha_1 \left[\frac{Q_1}{Q_2} \right] + \alpha_2 \left[\frac{Q_1}{Q_2} \right]^2 \quad (1)$$

خراب این معادله برای باریکه‌های تپی و تپی-روبی با نسبتهای مختلف V_1/V_2 تعیین گردیده‌اند. برای باریکه‌های تپی-روبی و نسبت $V_1/V_2 = 4$ که مورد نظر ما است، $\alpha_0 = 1/468$

اتاقکهای یونش استوانه‌ای PTW,W-30001 و NE 2571 هر دو دارای گواهینامه سنجه‌بندی از آزمایشگاه دزیمتری IAEA بر حسب کرمای هوا (N_K) و دز جذبی آب ($N_{D,w}$) در انرژی پرتو گاماًی CO-60 هستند. چون ما برای سنجه‌بندی اتاقکهای صفحه موازی بر حسب دز جذبی هوا اتاقک، به فاکتورهای $N_{D,air}$ اتاقکهای استوانه‌ای نیاز داریم، ابتدا باید این فاکتورها را تعیین کنیم. فاکتور $N_{D,air}$ اتاقک استوانه‌ای با فاکتور سنجه‌بندی بر حسب کرمای هوا، N_K ، رابطه زیر را دارد:

$$N_{D,air} = N_K (1-g) k_{att} k_m k_{cel} \quad (4)$$

که در آن g کسری از انرژی باریکه است که به صورت پرتو ترمی (بر مشترالونگ) از محیط اندازه گیری خارج می‌شود، k_{att} ضرب مربوط به تضعیف پرتو در دیواره اتاقک است و k_m و k_{cel} هم به ترتیب ضریب‌های مربوط به هم ارز نبودن دیواره و الکترود مرکزی اتاقک با هوا هستند. ضریب‌های k_{att} و k_m برای اتاقکهای مختلف در دسترس هستند و ضریب k_{cel} فقط برای اتاقکهای استوانه‌ای نوع فارم حساب شده است ($1/0.1 \pm 1/0.06$). فاکتورهای $N_{D,air}$ اتاقکهای PTW,W-30001 و NE 2571 در باریکه CO-60 با توجه به مقادیر فاکتورهای کرمای هوا از گواهینامه اتاقکها و همچنین در نظر گرفتن مقادیر g و حاصلضرب k_{att} و k_m به قرار جدول زیر خواهد بود.

۱-۱-۵- روش تعیین $N_{D,air}$ در باریکه پرتو CO-60
ابتدا پاسخ اتاقک صفحه موازی W-34001 را با پاسخ دو اتاقک یونش استوانه‌ای W-30001 و NE2571 در باریکه پرتو CO-60 دستگاه پرتو درمانی Picker V9 موجود در بخش دزیمتری استاندارد، در فانتوم آب مقایسه کرد، این در شرایط اندازه گیری، فاصله چشم تا سطح فانتوم: ۱۰ cm، ابعاد میدان تابش در سطح فانتوم ۱۰ cm × ۱۰ cm و عمق آب $d_w = 5$ cm بوده است

\bar{E}_0 و عمق اندازه گیری، z_{ref} به شمار می‌رود. $(S_{w,air})_{Co}$ همان نسبت در مورد پرتوگامای CO-60 است که ثابت و برابر ۱/۱۲۳ است. P_Q فاکتور کلی تصحیح اختلال ناشی از حضور اتاقک در محیط اندازه گیری (فانتوم) است که حاصلضرب عاملهای مختلف، مانند اثر حجم (P_{cav}) و اثر دیواره اتاقک (P_{wall}) می‌باشد (در مورد اتاقکهای استوانه‌ای اثرهای مربوط به الکترود مرکزی، P_{cel} ، P_{dis} اختلاف وضعیت نقطه مؤثر اندازه گیری تا مرکز اتاقک، $P_{wall,Co}$ ، نیز اعمال می‌شود). فاکتور تصحیح اختلال اتاقک صفحه موازی در باریکه CO-60 است.

۱- تعیین فاکتور $N_{D,air}$ اتاقکهای یونش صفحه موازی
برای تعیین $N_{D,air}$ اتاقکهای صفحه موازی، یا به عبارت دیگر، سنجه‌بندی آنها بر حسب دز جذبی هوا حفره اتاقک، روش‌های مختلفی شامل سنجه‌بندی در باریکه الکترون و سنجه‌بندی در باریکه پرتوگامای CO-60، هم در فانتوم و هم در هوا، پیشنهاد شده است.

در حال حاضر، توصیه عمده دستورالعمل دزیمتری IAEA-TRS No.381 و بیشتر دستورالعملهای دیگر دزیمتری برای تعیین $N_{D,air}$ یک اتاقک صفحه موازی، مقایسه پاسخ آن اتاقک در باریکه الکترون با پاسخ اتاقک مرجعی است که فاکتور $N_{D,air}$ آن معلوم باشد. اگر امکان انجام این توصیه میسر نباشد بن查ار باید یکی از روش‌های سنجه‌بندی در مقابل CO-60 را به بهای تقلیل خطای بیشتر در مقدار $N_{D,air}$ انتخاب کرد.

برای تعیین $N_{D,air}$ اتاقکهای یونش صفحه موازی موضوع این گزارش، هر سه اتاقک W-34001، PP1 و PP2 در فانتومهای آب و پرسپکس در مقایسه با اتاقکهای استوانه‌ای W-30001 و PTW,W-30001 در باریکه CO-60 سنجه‌بندی شده‌اند. سنجه‌بندی در باریکه الکترون، با توجه به محدودیت دسترسی به شتابدهنده پرتو درمانی الکترون، فقط در مورد اتاقکهای W-34001 و PP2 انجام گرفته است.

اتاقک یونش	N_k (mGy/nC)	$k_{att} k_m$	$N_{D,air}$ (mGy/nC)
PTW,W-30001	47.4 ± 0.16	0.972 ± 0.1	46.21 ± 0.12
Ne 2571	41.1 ± 0.05	0.985 ± 0.1	40.60 ± 0.11

شعاع اتاقک بر حسب میلیمتر است. برای اتاقک W-30001، $P_{dis} = ۰/۹۸۷۸$ و برای اتاقک NE2571، $P_{dis} = ۰/۹۸۷۴$ می‌شود. برای تخمین ضربی اختلال P_{wall}^{PP} مربوط به اتاقک‌های صفحه موازی رابطه‌ای تحلیلی نظری را بسط کرد، که برای اتاقک‌های استوانه‌ای بکار می‌رود، وجود ندارد و در این مورد این ضربی بطور تجربی تعیین می‌شود. مقدار P_{wall}^{PP} برای اتاقک W-34001 در باریکه‌گامای 60 Co و در فانتوم آب $۱/۰۰۳$ تخمین زده می‌شود.

با قراردادن مقادیر کمیتها و ضرایب ذکر شده در رابطه ۵، فاکتور $N_{D,air}^{PP}$ اتاقک صفحه موازی W-34001 چنین تعیین گردیده است:

در مقایسه با اتاقک استوانه‌ای W-34001

$$N_{D,air}^{PP} = ۷۲/۲۸mGy/nC \pm ۷/۲/۵۲$$

در مقایسه با اتاقک استوانه‌ای NE2571

$$N_{D,air}^{PP} = ۷۲/۶۹mGy/nC \pm ۷/۲/۴۷$$

با توجه به مقدار خطای ذکر شده در $N_{D,air}^{PP}$ (تا یک انحراف معیار)، اختلاف معنی‌داری بین فاکتورهای تعیین شده با دو اتاقک استوانه‌ای مرجع مشاهده نمی‌شود.

اتاقک‌های PP1 و PP2 در وضعیت فعلی، ضد آب نبوده و برای استفاده در فانتوم آب مناسب نیستند. بنابراین فاکتورهای $N_{D,air}$ این اتاقکها را در باریکه‌گامای 60 Co با استفاده از فانتوم پرسپکس و مقایسه پاسخ آنها با پاسخ اتاقک W-34001، که فاکتور $N_{D,air}$ آنرا در مقایسه با اتاقک‌های استوانه‌ای تعیین گردیدم، بدست آورده‌ایم. شرایط اندازه‌گیری، یعنی فاصله و ابعاد میدان تابش در سطح فانتوم همانهاست که قبل از کشیده‌اند؛ فقط عمق اندازه‌گیری در فانتوم پرسپکس $d_{pl} = ۴/۶\text{ cm}$ بوده است که تقریباً معادل $۵/۲\text{ cm}$ آب می‌باشد. ابعاد هندسی و جنس بدن و همچنین ضخامت پنجره PTW، W-34001 و NE-2571 برابر $۰/۹۹۲۴$ و $۰/۹۹۴۳$ می‌باشد. ابعاد هندسی و جنس بدن و همچنین ضخامت پنجره تقریباً یکسان هستند. بنابراین با تقریب خوبی می‌توانیم بنویسیم:

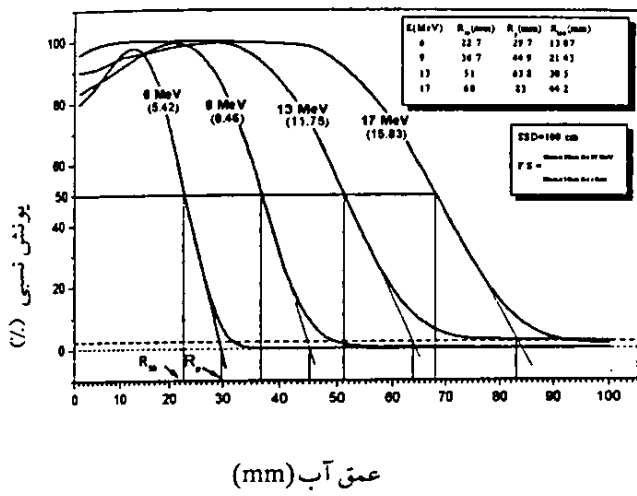
(در مورد اتاقک‌های استوانه‌ای، فاصله سطح آب تا مرکز اتاقکها ۵ cm و در مورد اتاقک صفحه موازی W-34001 ۵ cm فاصله سطح آب تا جدار داخلی پنجره ورودی پرتو ۵ cm بوده است).

بنگی فاکتور $N_{D,air}^{PP}$ اتاقک صفحه موازی با فاکتور اتاقک استوانه‌ای از رابطه (۵) معنی می‌شود:

$$N_{D,air}^{PP} = N_{D,air}^{ref} \frac{M^{ref}}{M^{PP}} \frac{P_{wall}^{ref}}{P_{wall}^{PP}} \frac{P_{cel}^{ref}}{P_{dis}} \quad (5)$$

M^{PP} به ترتیب پاسخ‌های اتاقک‌های استوانه‌ای و صفحه موازی هستند که با توجه به مقادیر خوانده شده روی الکترومتر و تصحیح این مقادیر در مقابل تغییرات دما و فشار محیط اندازه‌گیری نسبت به دما و فشار مرجع (P_{TP})، بهره جمع آوری بار (P_s) و اثر قطبیدگی بدست می‌آیند. P_{wall}^{ref} ضربی اختلال ناشی از هم ارز نبودن جنس دیواره اتاقک استوانه‌ای با محیط اندازه‌گیری (آب) است که به کمک رابطه سه مؤلفه‌ای (۶) حساب می‌شود، که در آن α و τ به ترتیب کسری از یونهای تولید شده در اثر برخورد پرتو به دیواره اتاقک و پوشش ضد آب آن (sleeve) ایجاد می‌شوند و می‌توان آنها را به کمک روابط $\alpha(t_w) = 1 - e^{-11.88t_w}$ و $\tau(t_w) = 1 - e^{-11.88t_w}$ ببرآورد کرد. $S_{sleeve,air}$ ، $S_{wall,air}$ ، $S_{med,air}$ نیز به ترتیب نسبتهای توان متوقف‌سازی دیواره اتاقک به هوا، پوشش ضد آب اتاقک به هوا و محیط اندازه‌گیری به هوا هستند. $\bar{\mu}_{en}/\bar{\mu}_{med,sleeve}$ و $\bar{\mu}_{en}/\bar{\mu}_{med,wall}$ هم به ترتیب نسبت ضرایب تضعیف جرمی محیط اندازه‌گیری به دیواره اتاقک و محیط اندازه‌گیری به پوشش ضد آب اتاقک هستند. مقدار P_{wall}^{ref} با استفاده از رابطه (۶) برای اتاقک W-30001، برای اتاقک NE-2571، برای اتاقک W-34001 و برای اتاقک NE-2571 تصحیح مربوط به اثر الکترود مرکزی اتاقک استوانه‌ای در اندازه‌گیریهای درون فانتوم است که برای اتاقک‌های نوع فارمر با الکترود آلمینیومی به قطر 1 mm در حدود $۰/۹۹۴$ ببرآورد می‌شود. ضربی تصحیح مربوط به جایجایی نقطه مؤثر اندازه‌گیری از مرکز اتاقک است که با رابطه $P_{dis} = ۱ - ۰/۰۰۴۲$ تخمین زده می‌شود.

$$P_{wall}^{ref} = \frac{\alpha S_{wall,air} \left[\frac{\bar{\mu}_{en}}{\rho} \right]_{med,wall} + \tau S_{sleeve,air} \left[\frac{\bar{\mu}_{en}}{\rho} \right]_{med,sleeve} + (1 - \alpha - \tau) S_{med,air}}{S_{med,air}} \quad (6)$$



عمق آب (mm)

▲ شکل ۵ - منحنی‌های توزیع یونش باریکه‌های الکترون شتابدهنده پرتو درمانی CGR Saturn20 که به وسیله اتاقک یونش صفحه موازی PTW,W-34001 در عمق فانتوم آب دست آمده است.

با استفاده از این رابطه و منحنی‌های توزیع یونش در عمق فانتوم آب (شکل ۵)، مشخصات باریکه‌های الکترون شتابدهنده پرتو درمانی به قرار زیر است:

E(MeV)	\bar{E}_0 (MeV)	R ₁₀₀ (cm)	R ₅₀ (cm)	R _p (cm)
17	15/83	4/42	6/8	8/3
13	11/75	3/05	5/1	6/38
9	8/46	2/14	3/67	4/49
6	5/42	1/31	2/27	2/97

انرژی متوسط یک باریکه الکترون مناسب برای سنجه‌بندی در سطح فانتوم باید $\bar{E} \leq 25\text{MeV}$ باشد. بنابراین برای سنجه‌بندی اتاقک صفحه موازی W-34001، باریکه الکترون با انرژی اسمی ۱۷MeV را انتخاب کرده‌ایم. برای این کار نقاط مؤثر اندازه گیری اتاقک ۱۷MeV را و اتاقک استوانه‌ای W-30001 را در عمق مرجع یکسانی، $Z_{ref}=4/5\text{cm}=R_{100}$ ، در فانتوم آب فرار داده‌ایم (شکل ۶). فاکتور $N_{D,air}^{PP}$ اتاقک صفحه موازی چنین حساب می‌شود:

$$N_{D,air}^{PP} = N_{D,air}^{ref} \frac{M^{ref}}{M^{PP}} \frac{P_{wall}^{ref} P_{cav}^{ref} P_{cel}^{ref}}{P_{wall}^{PP} P_{cav}^{PP}} \quad (6)$$

$$N_{D,air}^{PP} = N_{D,air}^{W-34001} \left[\frac{M^{W-34001}}{M^{PP_{1,2}}} \right] \quad (7)$$

فاکتورهای $N_{D,air}$ که به این طریق برای اتاقکهای PP1 و PP2 تعیین شده‌اند، چنین هستند:

$$N_{D,air}^{PP} = 1.07/60 \text{mGy/nC} \pm 1/2/62 \quad \text{PP1}$$

$$N_{D,air}^{PP} = 8.0/66 \text{mGy/nC} \pm 1/2/62 \quad \text{PP2}$$

۴-۱-۵-روش تعیین $N_{D,air}$ در باریکه الکترون

برای تعیین فاکتور $N_{D,air}$ اتاقکهای صفحه موازی در باریکه الکترون، طبق توصیه دستورالعمل IAEA-TRSN0.381 و بیشتر دستورالعملهای دیگر کنونی، ابتدا $N_{D,air}$ اتاقک صفحه موازی W-34001 را با مقایسه پاسخ آن با پاسخ اتاقک استوانه‌ای W-30001 در باریکه الکترون و با استفاده از فانتوم آب بدست آورده‌ایم. سپس فاکتور $N_{D,air}$ اتاقک ۲ را با مقایسه پاسخ آن با پاسخ اتاقک در فانتوم پرسپکس تعیین کرده‌ایم. برای تمام اندازه گیریها از شتابدهنده پرتو درمانی الکترون 20 میلی‌متر متعلق به مرکز پژوهشی سیدالشهادی اصفهان استفاده شده است. این شتابدهنده در تاریخ اندازه گیری (آذر ۱۳۷۷)، قادر بوده که باریکه‌های الکترون با انرژیهای اسمی ۶، ۹، ۱۳ و ۱۷ مگا‌الکترون - ولت را تامین نماید.

سنجه‌بندی اتاقکهای صفحه موازی در باریکه الکترون، ایجاد می‌کند که کیفیت باریکه تعیین شود. منظور از کیفیت باریکه الکترون، انرژی متوسط آن در سطح فانتوم، \bar{E}_0 ، است که با بردن الکترون ارتباط دارد. کمیت \bar{E}_0 نقش عمده را در تعیین کمیتها و پارامترهای مورد استفاده در رابطه تعیین دز جذبی، به ویژه در انتخاب نسبت توان متوقف‌سازی آب به هوای $S_{w,air}$ ، دارد.

برای تعیین کیفیت باریکه‌های الکترون، توزیع یونش در عمق فانتوم آب را به وسیله اتاقک صفحه موازی W-34001، که برای این کار بسیار مناسب است، بدست آورده‌ایم (شکل ۵). در تمام اندازه گیریها $SSD=100\text{cm}$ بوده است. برای تامین یک باریکه پهن و مناسب، به طوری که بتوانیم توزیع یونش را تقریباً مستقل از ابعاد میدان تابش در نظر بگیریم، ابعاد میدان تا انرژی ۱۳MeV ۱۲cm×۱۲cm و برای انرژی ۱۷MeV مساوی ۲۰cm×۲۰cm×۲۰cm انتخاب شده است.

انرژی متوسط باریکه در سطح فانتوم با عمق ۵٪ یونش، R_d ، را می‌توان از رابطه تجربی زیر حساب کرد:

$$\bar{E}_0(\text{MeV}) = 0.818 + 1/9235 R_d + 0.040(R_d)^2 \quad (8)$$

محیط اندازه گیری نسبت به دما و فشار مرجع (P_{TP})، ضربت تصمیع ترکیب دوباره یونها (P_i) و اثر قطبیدگی بدست می آید. برای تعیین P_i ، چنانکه قبل گفته شد، از روش دو ولتاژ استفاده شده است.

با قراردادن مقادیر کمیتها و ضرایب ذکر شده در رابطه ۹، فاکتور آتاقک صفحه موازی در باریکه الکترون چنین تعیین گردیده است:

$$N_{D,air}^{W-34001} = 70/48 \text{mGy/nC} \pm 1.85$$

اختلاف نسبی فاکتور اخیر با فاکتور بدست آمده در میدان گامای Co-60 در حدود ۲/۵٪ است.

فاکتور $N_{D,air}$ آتاقک $PP2$ ، با مقایسه پاسخ آن با پاسخ آتاقک $W-34001$ در باریکه های الکترون 9MeV و 13MeV در فاتنوم 6MeV و 9MeV بر سپکس، و باریکه الکترون در فاتنوم آب چنین بدست آمده است:

$$E=13\text{MeV}: N_{D,air}^{PP2} = 80/100 \text{mGy/nC} \pm 2.1$$

$$E=9\text{MeV}: N_{D,air}^{PP2} = 78/30 \text{mGy/nC} \pm 2.1$$

$$E=6\text{MeV}: N_{D,air}^{PP2} = 79/40 \text{mGy/nC} \pm 2.1$$

اختلاف نسبی این مقادیر با یکدیگر و همچنین با فاکتور بدست آمده در میدان گامای Co-60 در حد انحراف معیار فاکتورها است.

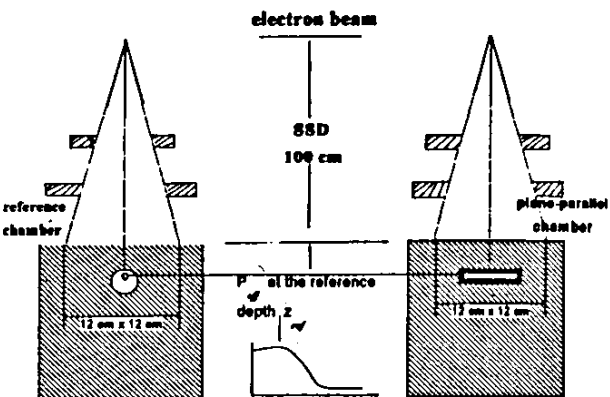
۲-۵-۱-۱-۱-۱ تعیین $N_{D,w,co}$ آتاقکهای صفحه موازی

برای سنجه بندی آتاقکهای صفحه موازی بر حسب دُر جذبی آب، ابتدا فاکتور $N_{D,w,co}$ آتاقک صفحه موازی $W-34001$ را با مقایسه پاسخ آن با پاسخ آتاقکهای استوانه ای $W-30001$ و $NE2571$ ، در میدان پرتو گامای Co-60 و در فاتنوم آب تعیین کرده ایم. برای این کار از همان داده هایی که برای تعیین $N_{D,air}$ در

بدست آمده است استفاده کردیم:

$$N_{D,w,co}^{PP} = N_{D,w,co}^{ref} \frac{M^{ref}}{M^{PP}} \quad (12)$$

با در نظر گرفتن فاکتورهای سنجه بندی آتاقکهای استوانه ای،



شکل ۶ - نحوه تنظیم آتاقکهای یونش استوانه ای (مرجع) و صفحه موازی در باریکه الکترون و در فاتنوم آب برای سنجه بندی آتاقک صفحه موازی.

در روش سنجه بندی با باریکه الکترون، فاکتورهای P_{wall}^{ref} ، P_{cav}^{PP} و P_{wall}^{PP} برابر ۱ در نظر گرفته می شوند. در باریکه الکترون، برای آتاقک استوانه ای با الکترود آلومینیومی به قطر ۱ میلی متر، $P_{cav} = 0.998$ است. $P_{cel} = 0.998$ ، که فاکتور تصمیع اختلال ناشی از حفره های آتاقک در شاریه دگر الکترون در فاتنوم است، برای آتاقکهای استوانه ای چنین حساب می شود:

$$P_{cav}^{ref} (\bar{E}_0, r) = 1 - 0.0215r e^{-0.1224\bar{E}_z} \quad (10)$$

۲-شعاع آتاقک بر حسب میلیمتر و \bar{E}_z انرژی متوسط باریکه الکترون در عمق z است که با رابطه تقریبی زیر تخمین زده می شود:

$$\bar{E}_z \approx \bar{E}_0 (1 - z/R_p) \quad (11)$$

R_p بُرد عملی باریکه است. با در نظر گرفتن شعاع آتاقک

$$R_p = 8/3 \text{cm}, r = 3/0.5 \text{mm}, z_{ref} = 4/5 \text{cm}$$

و $\bar{E}_0 = 15/8 \text{MeV}$ از روابط (۱۰) و (۱۱) نتیجه می گیریم که

$$P_{cav}^{ref} = 0.97 \text{ می گیریم} \quad (12)$$

و سیله الکترومتر و در نظر گرفتن فاکتورهای تصمیع دما و فشار

خطاهای مشترکی که در هر یک از روش‌های تعیین دُز جذبی

وجود دارند چنین برآورد می‌شوند:

تخمین خطأ(%)

- ۱ تنظیم وضعیت هندسی اندازه گیری ۱
مقدار خوانده شده روی الکترومتر
بعد از تصحیحات لازم، M^{PP} ۱

پایداری درازمدّت پاسخ اتفاقکها:
در مورد اتفاک W-34001 ۱

در مورد اتفاکهای PP1 و PP2
در صورتی که از فاکتور $N_{D,air}$ و رابطه (۲) برای تعیین دُز جذبی

استفاده شود، خطاهای زیر را باید اعمال کنیم:

تخمین خطأ(%)

- ۰/۷ مقدار نظری
نسبت توان متوقف‌سازی آب
به هوا $S_{w,air}$ ۱

فاکتور کلی تصحیح اختلال حضور
اتفاقک در فانتم، P_Q ۱

اگر از فاکتور $N_{D,w,Co}$ و رابطه (۳) برای تعیین دُز جذبی استفاده
شود، خطاهای زیر را باید در نظر گرفت:

تخمین خطأ(%)

- ۱/۳ $\frac{(S_{w,air})_Q}{(S_{w,air})_{Co}}$
نسبت P_Q
۲/۴ $\frac{P_Q}{P_{wall,Co}}$
با درج موارد این خطاهای در روابط محاسبه دُز جذبی می‌توانیم
خطای کلی را در تعیین دُز جذبی باریکه‌های الکترون با استفاده از
هر یک از اتفاکهای صفحه موازی تخمین بزنیم. نتایج نهایی بررسی
خطاهای در جدول زیر خلاصه شده است:

$$N_{D,w,Co}^{W-30001} = ۵۱/۸۷mGy/nC \pm ۱/۱$$

$$N_{D,w,Co}^{NE 2571} = ۴۵/۱ \pm mGy/nC \pm ۱/۰/۰$$

که در آزمایشگاه دُزیمتری IAEA تعیین گردیده است، چنین نتیجه
می‌گیریم:

در مقایسه با اتفاک W-30001

$$N_{D,w,Co}^{W-34001} = ۸۲/۷۸mGy/nC \pm ۱/۱/۳$$

در مقایسه با اتفاک NE2571

$$= ۸۳/۱۷mGy/nC \pm ۱/۱/۳$$

چنانکه ملاحظه می‌شود اختلاف نسبی فاکتورهای بدست آمده
در محدوده انحراف از معیار آنها است.

فاکتورهای سنجه‌بندی اتفاکهای صفحه موازی PP1 و PP2
برحسب دُز جذبی آب با مقایسه پاسخ آنها با پاسخ اتفاک
W-34001 در فانتم پرسپکس چنین تعیین گردیده‌اند:

$$N_{D,w,Co}^{PP1} = ۱۲۳/۱۵mGy/nC \pm ۱/۱/۶۴$$

$$N_{D,w,Co}^{PP2} = ۹۱/۵۹mGy/nC \pm ۱/۱/۶۴$$

۶- بررسی خطاهای در تعیین دُز جذبی باریکه‌های الکترون
برای تخمین خطای کلی در تعیین دُز جذبی باریکه‌های
الکترون براساس دستورالعمل دُزیمتری IAEA-TRS No.381
لازم است علاوه بر خطای فاکتورهای سنجه‌بندی $N_{D,air}$ یا
 $N_{D,w,Co}$ ، خطاهای موجود در تنظیم وضعیت هندسی اندازه گیری،
مانند عمق فانتم، فاصله SSD، میدان تابش و همچنین خطای
کمیتهای دیگر را نیز در روابط محاسبه دُز جذبی (۲) یا (۳) در نظر
گیریم.

برحسب $N_{D,w,co}$			برحسب $N_{D,air}$				نحوه سنجه‌بندی اتفاقک صفحه موازی
PP2	PP1	W-34001	در باریکه الکترون		در باریکه Co-60		
			PP2	W-34001	PP2	PP1	W-34001
۴/۰۲	۴/۰۲	۳/۴۸	۳/۵۹	۳/۰۰	۳/۹۲	۳/۹۲	۳/۴۴

نتایج امید بخشی را به همراه داشت. امیدواریم که مهارت‌های کسب شده در این زمینه بتواند در توسعه کیفی فعالیتهای بخش دُزیمتري استاندارد، که انتقال استانداردهای اندازه گیری پرتوهای یونسان از مراکز بین‌المللی اندازه گیری به مراکز پرتو درمانی کشور را به عنوان یکی از وظایف تعریف شده خود به عهده دارد، مشمر ثمر واقع شود.

در پایان از همه کسانی که به هر نحو، چه از لحاظ فراهم آوردن امکانات و تسهیلات و چه از لحاظ صرف وقت و ارائه پیشنهادات و نظرات، در انجام این کار پژوهشی - کاربردی مارا پیاری داده‌اند، بویژه جناب آقای دکتر آفریده ریاست وقت مرکز تحقیقات کشاورزی و پژوهشی هسته‌ای، همکاران بخش دُزیمتري استاندارد و کارگاه تراشکاری این مرکز، همچنین کارکنان بخش پرتو درمانی مرکز پژوهشی سیدالشهادی اصفهان، بویژه خانم دکتر شکرانی و آقایان گلستانی و منادی تشکر و قدردانی نموده توفيق آنان را از قادر متعال خواستاریم.

ملاحظه می‌شود که خطای کلی در تعیین دُز جذبی در باریکه‌های الکترون، در حالتی که سنجه‌بندی اتفاقک صفحه موازی در باریکه الکترون صورت گرفته باشد، کمتر از موارد دیگر است.

۷-نتیجه‌گیری

در سالهای اخیر، بهبود روش‌های دُزیمتري در پرتو درمانی نوین لزوم استفاده از اتفاقکهای یونش صفحه موازی را برای تعیین دُز جذبی باریکه‌های الکترون، بویژه در انرژیهای کمتر از ۱۰ MeV ایجاد کرده است. براین اساس و با توجه به احتمال گسترش استفاده از شتابدهنده‌های الکترون در مراکز پرتو درمانی کشور اقدام به طراحی، ساخت و سنجه‌بندی اتفاقکهای یونش صفحه موازی در بخش دُزیمتري استاندارد بر طبق استانداردهای معزفی شده به IAEA-TRS IEC و دستورالعمل بین‌المللی دُزیمتري No.381 گردید و بر طبق شرحی که در این مقاله داده شده است

References

1. ICRU Report No. 24, "Determination of Absorbed Dose in a patient Irradiated by Means of X or Gamma Ray in Radiotherapy Procedures", (1976).
2. A. Brahme, "Accuracy Requirements and Quality Assurance of External Beam Therapy with Photons and Electrons", Acta. Oncol. Suppl. 1(1988).
- 3 . Hospital Physicist's Association(HPA), Physics. Med. Biol. 14, 1 (1969).
4. ICRU Report No. 21, "Radiation Dosimetry: Electron with Initial Energies between 1 and 50 MeV (ICRU, Washington, D.C., 1972).
5. Nordic Association of clinical Physics (NACP), Acta. Radiol. Ther. Phys. Biol. (1971).
6. Subcommittee on Radiation Dosimetry, AAPM, Phys. Med. Biol. 16, 379(1971).
7. Subcommittee on Radiation Dosimetry , AAPM, Phys. Med. Biol., 11,505 (1966).
8. NACP, "Procedures in external radiotherapy dosimetry with electron and photon beams with maximum energies between 1 and 50 MeV" , Acta. Radiol. Oncol. 19, 55 (1980).
9. NACP, "Electron Beams with Energies at the Phantom Surface below 15 MeV", Acta. Radiol.Oncol. 20, Fasc.6(1981).
10. AAPM, Tasl Group 21, "A protocol for the determination of absorbed dose from high - energy photon and electron beams", Med. Phys. 10, 741 (1983).
11. HPA, "Revised code of practice for dosimetry of Practice 2 to 35 MeV x-ray and of Cs-137 and Co-60 gamma-ray beams", Phys. Med. Biol. 28, 1097-1104(1983).
12. HPA, "Code of practice for electron beams dosimetry in radiotherapy", Phys. Med. Biol. 30, 1169-1194 (1985).
13. IAEA-TRS. No. 277, "Absorbed Dose Determination in Photon and Electron Beams:An International

Code of Practice", IAEA, Vienna(1987).

14. IAEA - TRS. No.381, "The Use of Plane - Parallel Ionization Chambers in High -Energy Electron and photon Beams: An International Code of Practice for Dosimetry", IAEA, Vienna (1996).

۱۵. عبدالرضا سليمانيان و همکاران، «ارزیابی بین المللی استاندارد اندازه گیری بر توهای ابکس و گامادر بخش دُزیتری استاندارد (SSDL)»، نشریه علمی سازمان انرژی اتمی ایران، شماره ۱۶، ۱۵-۲۶، ۱۳۷۷.

۱۶. عبدالرضا سليمانيان، «گزارش تحلیلی فعالیتهای بخش دُزیتری استاندارد در زمینه کنترل کیفی در پرتو درمانی»، نشریه انرژی هست'ی، شماره ۲۰، تابستان ۱۳۷۶.

17. A. Solimanian, M. Ghafoori, "Results of a National Quality Audit Programme for Radiotherapy Centers in Iran", IAEA SSDL Newsletter, No. 38, 20-28 (1998).

18. International Electrotechnical Commission (IEC), "Medical electrical equipment. Dosimeters with ionization chambers as used in radiotherapy", Geneva, IEC 731 (1987).

19. Attix, F.H., Radiation dosimetry, pp. 334-339(1986).

Design, Construction and characteristics of Plane - Parallel Ionization Chambers for Dosimetry of Electron Beams Used in Radiotherapy

*Solimanian, A., Ensaf, M.R., Ghafoori, M.
Secondary Standard Dosimetry Laboratory (SSDL)
Atomic Energy Organization of Iran (IAEA)
P.O.Box 31585 - 4395 Karag / IRAN*

Abstract

The practical and standard procedure for dosimetry of photon and electron beams used in radiotherapy involves the use of ionization chambers. Accordingly, there are a number of codes of practice, protocols and reports by national and international organizations, including IAEA, which provide physicists with a systematic approach to dosimetry of photon and electron beams using proper ionization chambers. Most of these dosimetry recommendations have explicitly recognized the advantages of using plane- parallel (or parallel - plate) ionization chambers (PPIC) for the dosimetry of therapeutic beams, especially for electron beams with energies less than 10 MeV. Regarding the possibility of employing medical electron accelerators in many radiotherapy centers in Iran, attempts have been made at the Secondary Standard dosimetry Laboratory (SSDL) of Iran to construct and make use of PPICs according to the last IAEA dosimetry code of practice. This paper presents the details of the construction and calibration of PPICs at the SSDL, as well as the uncertainties in the absorbed dose determination of electron beams by these chambers.